



(12)

## CERERE DE BREVET DE INVENȚIE

(21) Nr. cerere: **a 2010 01140**

(22) Data de depozit: **19.11.2010**

(41) Data publicării cererii:  
**30.10.2012** BOPI nr. **10/2012**

(71) Solicitant:  
• UNIVERSITATEA "DUNAREA DE JOS"  
DIN GALAȚI, STR.DOMNEASCĂ NR.47,  
GALAȚI, GL, RO

(72) Inventatori:  
• BANU MIHAELA, STR.SATURN NR.10,  
BL.B2, SC.3, AP.28, GALAȚI, GL, RO;

• EPUREANU ALEXANDRU,  
STR. ALEXANDRU LĂPUŞNEANU NR.16,  
BL.B6, AP.16, GALAȚI, GL, RO;  
• STAN FELICIA, STR. CĂLUGĂRENI  
NR.11, BL. L 1 A, SC.2, PARTER, AP.21,  
GALAȚI, GL, RO;  
• MARINESCU VASILICĂ,  
STR.GEORGE COȘBUC NR.37, BL.C 20,  
AP.35, GALAȚI, GL, RO;  
• BURUIANĂ ALICE NICOLETA,  
STR. SLĂNIC NR.1, BL.4G, AP.36, GALAȚI,  
GL, RO

### (54) METODĂ DE PROIECTARE A PATERNURILOR DISLOCAȚIILOR LA DEFORMAREA PLASTICĂ SEVERĂ A MATERIALELOR METALICE

#### (57) Rezumat:

Invenția se referă la o metodă de determinare a unui model al dislocațiilor din structura materialelor metalice, apărute în urma procesului de deformare plastică la rece, în scopul stabilirii parametrilor de conducere a procesului de nanostructurare bazată pe deformare plastică severă, prin forfecare multidirecțională controlată, care permite obținerea unor materiale metalice superplastice, cu mărimi diminuate ale grăunților cristalini, ceea ce determină o ameliorare a caracteristicilor mecanice în sensul creșterii rezistenței la tracțiune sau a plasticității materialului. Metoda conform inventiei are următoarele etape:

a. realizarea unei imagini cu microscopie cu transmisie electronică a unui volum finit de material metalic ce va fi supus nanostructurării, se analizează linile de dislocații vizibile care se discretizează într-un număr de segmente finite, obținându-se coordonatele punctelor care definesc segmentele finite, ceea ce permite reconstituirea liniei de dislocație inițială în coordinate discrete;

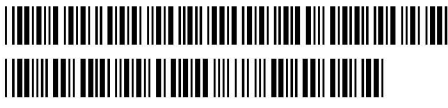
b. prin simularea cu dinamica moleculară se generează forme conformatoare ale unor proteine lungi pe duri de ordinul nanosecundelor, care constituie baze de date, din care se selectează acele forme care corespund, într-o din stări, formei inițiale a liniei de dislocații din materialul care se supune nanostructurării;

c. se aleg formele întărite ale dislocației în timpul procesului de nanostructurare prin deformare plastică severă, bazate pe mimica evoluției proteinelor la tracțiune/compresiune, care să corespundă unui nivel mic de energie entropică la o lungime mai mare a dislocației, față de starea inițială;

d. în fază finală se construiește traectoria de aplicare a deformației pe baza evoluției programate a entropiei elastice, aflată în legătură cu densitatea de dislocații din materialul supus nanostructurării.

Revendicări: 4  
Figuri: 6

Cu începere de la data publicării cererii de brevet, cererea asigură, în mod provizoriu, solicitantului, protecția conferită potrivit dispozițiilor art.32 din Legea nr.64/1991, cu excepția cazurilor în care cererea de brevet de invenție a fost respinsă, retrasă sau considerată ca fiind retrasă. Întinderea protecției conferite de cererea de brevet de invenție este determinată de revendicările conjuinate în cererea publicată în conformitate cu art.23 alin.(1) - (3).



## Descrierea inventiei

Inventia se refera la o metoda de proiectare a paternului dislocatiilor la deformarea plastica la rece in scopul stabilirii parametrilor de conducere a procesului de nanostructurare bazata pe deformare plastica severa prin FMC (forfecare multidirectionala controlata) ce permite obtinerea de materiale metalice superplastice.

Se cunoaste faptul ca nanostructurarea metalelor are ca efect diminuarea marimii grauntilor cristalini. Functie de nivelul de diminuare caracteristicile mecanice ale materialelor metalice se modifica, in sensul cresterii rezistentei la traciune a materialului sau cresterii plasticitatii acestuia. In prezent, modificarea caracteristicilor mecanice este un rezultat natural al procesului de nanostructurare prin deformare plastica severa, obtinut fara nici un fel de interventie in procesul de nanostructurare, nici in ceea ce priveste caracteristica mecanica ce se modifica prin nanostructurare si nici in ceea ce priveste nivelul acestei modificari.

Privitor la metodele de nanostructurare prin deformare plastica severa, o metoda recent aparuta este aceea bazata pe forfecare multidirectionala controlata la care cinematica procesului de deformare plastica este controlata numeric si permite schimbarea permanenta a directiei de forfecare.

Unul dintre dezavantajele actualelor metode de nanostructurare prin deformare plastica severa este acela ca nu se tine cont de legatura ce exista intre caracteristicile structurii cristaline a materialului, starea de tensiune la care acesta este supus in timpul procesului de nanostructurare, directia dupa care are loc deformarea plastica, pe de o parte, si, pe de alta parte, proprietatile finale lae materialului nanostructurat.

In prezent, nu se cunosc metode de proiectare a paternurilor dizlocațiilor la deformarea plastica severa a materialelor metalice.

Problema tehnica pe care o rezolva inventia este proiectarea paternurilor dislocatiilor la deformarea plastica severa a unui material metalic astfel incat efectul superplasticizare, urmare a nanostructurarii, sa fie maximizat.

Metoda de proiectare a paternurilor dizlocațiilor la deformarea plastica severa a materialelor metalice, caracterizata prin aceea ca a) mai intai se realizeaza o imagine cu microscopie cu transmisie electronica a unui volum finite de material metalic ce va fi supus nanostructurarii, apoi se analizeaza liniile de dislocatii vizibile care se discretizeaza intr-un numar de segmente finite obtinandu-se coordonatele punctelor ce definesc segmentele finite, ceea ce permite reconstituirea liniei de dislocatie initiala in coordonate discrete, si prin aceea ca b) prin simularea cu dinamica moleculara se genereaza forme conformatiionale ale proteinelor lungi pe durate de ordinul ns, ce constituie baze de date, si din acestea se selecteaza acele forme care corespund intr-una din stari cu forma initiala a liniei de dislocatii din materialul ce se supune nanostructurarii, precum si prin aceea ca c) se aleg forme tinta ale dislocatiei in timpul procesului de nanostructurare prin deformare plastica severa (FMC) bazate pe mimica evolutiei proteinelor la traciune/compresiune, care sa corespunda unui nivel mic de energie entropica la o lungime mai mare a dislocatiei, fata de starea initiala, si prin aceea ca la final se construiesc



traекторia de aplicare a deformatiei pe evolutie programate a entropiei elastice aflata in legatura cu densitatea de dislocatii din materialul supus nanostructurarii.

Mai jos se prezinta un exemplu de aplicare a inventiei in legatura cu figurile 1..6, dupa cum urmeaza:

Fig. 1 – Discretizarea unui front de dislocatii in segmente  $L_i$

Fig. 2 Evolutia frontului de dislocatii pe un interval  $\Delta t_i$ , avand ca patern tinta o configuratie inspirata din mecanismul de indoire – dezdoire al unei proteine

Fig. 3 Discretizarea dislocatiilor la deformarea Al si vizualizarea interactiunilor cu un film de  $Al_2O_3$ . Imagine TEM pentru deformarea. (a–c) 400 kV, T=325°C. (a)  $t=0$  s. (b)  $t=0,76$  s, dislocatia face un salt la interactiunea cu  $Al_2O_3$ . (c)  $t=13,0$  s, re-intersectia cu suprafata filiforma. (d–g) 1 MV, T=250°C, al doilea ciclu de incalzire. (d)  $t=0$  s. (e)  $t=0,40$  s. (f)  $t=7,96$  s. (g)  $t=8,88$  s. bazata pe [B. J. Inkson, G. Dehm and T. Wagner, In situ TEM observation of dislocation motion in thermally strained Al nanowires, Acta Materialia, Volume 50, Issue 20, 3 December 2002, Pages 5033-5047]

Fig. 4 Stari conformatiionale ale proteinei UBIQUITIN la intindere

Fig. 5 Energia potentiala (energia interna totala U) corespunzatoare UBIQUITIN la intinderea cu o forta de 500pN, dupa un timp  $t=80$ ns de aplicare a fortei.

Fig. 6 Conceperea paternului tinta pentru evolutia dislocatiei considerate

Metoda consta in parcurgerea urmatorilor pasi:

(a) Vizualizarea dislocatiilor dintr-un volum finit de material metalic supus unei deformari plastice severe la s incremente de timp din timpul deformatiei. Timpul este exprimat in secunde. Imaginea este obtinuta prin microscopie cu transmisie electronica (TEM) cu o magnitudine ce pune in evidenta frontul de dislocatii. Frontul de dislocatii este compus din segmente drepte si curbe.

(b) Discretizarea acestui front de dislocatii in segmente infinitesimal. Fiecare segment este marginit de doi atomi virtuali. In explicarea metodei se face ipoteza ca un front de dislocatie va fi reprezentat printr-o insiruire de n sfere mici, numiti atomi virtuali, aflatii la distante  $L_i$  unul de celalalt. Pozitia fiecarui atom virtual, la momentul  $t_0=0$ s al deformarii, este notata cu  $P_i$ , unde  $i=1-n$ , asa cum este aratat in fig. 1.

(c) Cu aceasta configuratie a atomilor virtuali, se face modelul de simulare in dinamica moleculara, si se da o evolutie de ordinul  $\Delta t$ (ns) pentru a se putea estima starea energetica a acestei configuratii. Se noteaza cu  $U_1$  starea energetica corespunzatoare acestei configuratii, la momentul  $t=t_0+\Delta t$ ; Se masoara si densitatea dislocatiilor din imaginile TEM. Aceasta marime este notata cu  $\delta_1$ .

(d) Prin simulare cu dinamica moleculara se genereaza o baza de date continand diferite succesiuni de stari conformatiionale ale proteinelor cu lanturi lungi de atomi. Pentru a se obtine stari conformatiionale in intervale de timp de ordinul ns, proteinelor li se aplica tensiuni de intindere si apoi de compresiune. Astfel, prin simularea cu dinamica moleculara se obtine configuratia proteinelor in diferite stari de indoiri si dezdoiri. Fiecare stare este caracterizata de stari energetice diferite. Probabilitatea de a trece de la o stare energetica la alta este data de potentialul Gibbs (energia libera) corespunzatoare fiecarei stari. Din aceasta baza de date se alege



succesiunea de configuratii a proteinei, cu nivelul energetic, de tensiuni si deformatii corespunzator si care serveste ca patern tinta pentru evolutia dislocatiei considerate la punctul (b).

(e) In modelul de dinamica moleculara al dislocatiei considerate, se da o evolutie de ordinul ns impunand conditii de evolutie corespunzatoare unor tensiuni si deformatii alese la punctul, precum si deplasari ( $P_i - P'_i$ ) fiecarui atom. Astfel, dupa evolutie pe un interval  $\Delta t_i$ , noua configuratie a frontului de dislocatie va fi ca cea din fig. 2.

(f) Se calculeaza densitatea de dislocatie in aceasta stare conformationala corespunzatoare timpului  $t + \Delta t_i$ , si careia ii corespunde o stare energetica  $U_2$ , prin aplicarea ecuatiei fundamentale a termodinamicii (1)

$$dU = TdS - PdV \quad (1),$$

unde  $U$  este energia potentiala la starea 2, adica  $U_2$ , cunoscuta din calculul cu dinamica moleculara;  $T$ ,  $P$  si  $V$  sunt temperatura, presiunea si volumul care sunt mentinute constant (sistem microcanonic), iar  $S$  este entropia elastica.

Astfel, se determina entropia elastica ( $S$ ) corespunzatoare acestei stari caracterizata de o anumita densitate de dilocatii  $\delta_2 > \delta_1$ .

In concret, pentru a genera superplasticitate in materialul supus deformarii, ar trebui ca in intervalul [0-0,76 s], alegand unitatea de timp ns, de exemplu, sa avem o multitudine de stari conformationale, in care dislocatia se dezvolta pe paternuri de folding-unfolding, similar cu cel al proteinelor. Generarea acestor stari conformationale intermediare se poate obtine prin controlarea nivelului de tensiuni de forfecare, combinata cu directia de deformare care sa respecte curbele de incarcare/descarcare (reproduse la o anumita scara) realizate pentru proteine.

Acest patern de incarcare/descarcare reprezinta suma trecerilor dintr-o stare in alta caracterizate de salturi energetice ale fiecarui atom de la frontieră unei dislocatii.

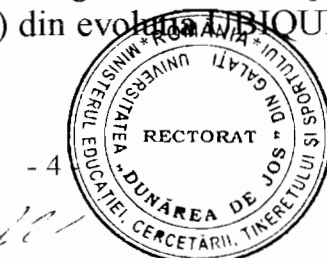
In modelarea dinamica, presupunem ca un canal energetic corespunzator unei dislocatii este modelat prin sfere ce au atribuite formele de energie descrise anterior

$$U_{total} = U_{bond} + U_{angle} + U_{dihedral} + U_{van\ der\ Waals} + U_{Coulomb} \quad (2)$$

La nivelul deformarilor plastice ce duc la obtinerea structurilor "ultrafine grained", lungimea  $y_c$  si rectilinitatea liniei dislocatiei este limitata de marimea grauntelui. Daca procedeul de nanostructurare duce la obtinerea nanograuntelor (<20nm), aceasta linie de dislocatie va putea fi considerata o granita intre doua fronturi de graunti. In mecanica continua, este foarte dificil de modelat, de aceea modalitatea de studiu la acest nivel este bazata pe dinamica moleculara.

Consideram ca dislocatia este formata din atomi (virtuali) si este divizata intr-un numar finit de segmente  $P_i$ , definite intre doi atomi.

Prin simulare cu dinamica moleculara generam starile conformationale ale proteinei UBIQUITIN, a carei structura cristalina a fost descarcata din Banca de Proteine, pentru un timp de evolutie de 80ns. In fig. 4 sunt exemplificate 3 stari (initiala, intermediara ( $t=40$ ns) si finala ( $t=80$ ns) din evolutie) UBIQUITIN supusa la tracțiune prin algoritmul "viteza constanta".



Din conformatia proteinei la 80ns sunt extrase coordonatele atomilor viruali in care a fost discretizata aceasta curba, pentru a se putea trasa paternul tinta al dislocatiei de la materialul metalic.

Energia interna totala asociata starii corespunzatoare lui  $t=80\text{ns}$  este prezentata in graficul din fig. 5.

Tabel nr. 1 – Pozitia paternului tinta determinat prin coordonate in sistemul cartezian

Eticheta atomului virtual	x	y	z
P1	x1	y1	z1
P2	x2	y2	z2
P3	x3	y3	z3
P4	x4	y4	z4
P5	x5	y5	z5
Pi	xi	yi	zi
.	.	.	.
Pn	xn	yn	zn

In fig. 6 se prezinta conceperea paternului tinta, pe baza valorilor obtinute din mimica proteinei UBIQUITIN, prezentate in tabelul 1.

Se calculeaza densitatea de dislocatii in aceasta varianta, dupa relatia (3)

$$\dot{\rho}_{SSD}^{\xi} = \frac{1}{b} \left( \frac{1}{d_e^{\alpha\xi} L^{\alpha\xi}} - 2y_c \rho_{SSD}^{\xi} \right) d_e^{\alpha\xi} |\dot{\gamma}^\alpha| \quad \text{si} \quad \rho_{SSD}^{\xi}(t=0) = \rho_{SSD_0} \quad (3)$$

ce reprezinta relatia generalizata propusa de [Essmann and Mughrabi, 1979]. Viteza de acumulare (primul termen din partea dreapta a ecuatiei 11) este legat de media lungimii segmentului de dislocatii ale dislocatiilor mobile (SSD's) in sistemul  $\alpha$   $L^\alpha$ , care este determinat de microstructura, adica de starea dislocatiilor reale, exprimata prin relatia [Tabourot et al., 1997; Arsenlis and Parks, 2002].

$$L^\alpha = \frac{K}{\sqrt{\sum_{\xi} H^{\alpha\xi} |\rho_{SSD}^{\xi}| + \sum_{\xi} H^{\alpha\xi} |\rho_{GND}^{\xi}|}} \quad (4)$$

Aici, este o constanta si  $H^{\alpha\xi}$  indica imobilizarea mutuala dintre dislocatiile diferitelor sisteme de alunecare. Viteza de anihilare (al doilea termen in membrul drept al ecuatiei (4)) este controlat de lungimea  $y_c$  de anihilare, care este un parametru de material ce caracterizeaza media distantei dintre doua dislocatii de semn opus care tind spre neutralizare.

Cunoscand densitatea de dislocatii, se determina deformatia  $\dot{\gamma}^\alpha$  ce corespunde lui  $L^\alpha$ , din fig. 6. Prin integrarea lui  $\dot{\gamma}^\alpha$  pe un interval de timp exprimat in secunde, corespunzator procesului de nanostructurare prin FMC, se afla curba de solicitare ce trebuie aplicata materialului de nanostructura, astfel incat la scara nano sa se obtina evolutia de dislocatii stabilita si, corespunzator, un nivel de superplasticitate programat.

Aceasta curba este posibil de programat, datorita facilitatii echipamentului de nanostructurare de comanda numerica a traectoriei de deformare.



0-2010-01140--

19-11-2010

6

Inventia prezinta urmatoarele avantaje:

- se poate exploata la maximum capacitatea de deformare plastica a unui material ordinar;
- se poate aplica la toate instalatiile de nanostructurare unde starea de tensiuni si deformatii la care este supus materialul in timpul nanostructurarii poate fi modificata, atat in ceea ce priveste marimea, cat si directia.



A series of handwritten signatures in black ink, likely belonging to the signatories of the document.

Revendicari

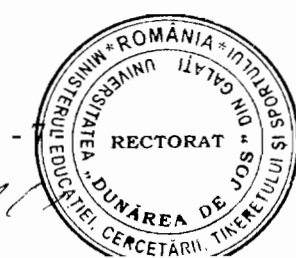
1) Metoda de proiectare a paternurilor dizlocațiilor la deformarea plastică severă a materialelor metalice, **caracterizată prin aceea că**, mai întâi se realizează o imagine cu microscopie cu transmisie electronică unui volum finite de material metalic ce va fi supus nanostructurării, apoi se analizează liniile de dislocații vizibile care se discretizează într-un număr de segmente finite obținându-se coordonatele punctelor ce definesc segmentele finite, ceea ce permite reconstituirea liniei de dislocație initială în coordonate discrete.

2) Metoda de proiectare a paternurilor dizlocațiilor la deformarea plastică severă a materialelor metalice, conform revendicării 1, **caracterizată prin aceea că**, prin simularea cu dinamica moleculară se generează forme conformatiionale ale proteinelor lungi pe duri de ordinul ns, ce constituie baze de date, și din acestea se selectează acele forme care corespund intr-o parte din stări cu forma initială a liniei de dislocații din materialul ce se supune nanostructurării.

3) Metoda de proiectare a paternurilor dizlocațiilor la deformarea plastică severă a materialelor metalice, conform revendicării 1, **caracterizată prin aceea că**, se aleg forme tinta ale dislocației în timpul procesului de nanostructurare prin deformare plastică severă (FMC) bazate pe mimica evoluției proteinelor la tracțiune/compresiune, care să corespunda unui nivel mic de energie entropică la o lungime mai mare a dislocației, fata de starea initială.

4) Metoda de proiectare a paternurilor dizlocațiilor la deformarea plastică severă a materialelor metalice, conform revendicării 1, **caracterizată prin aceea că**, în final se construiește traекторia de aplicare a deformației pe evoluției programate a entropiei elastice aflată în legătura cu densitatea de dislocații din materialul supus nanostructurării.

Cădăciu  
D. D. Popescu  
M. M. Popescu  
A. A. Popescu



Lista figurilor

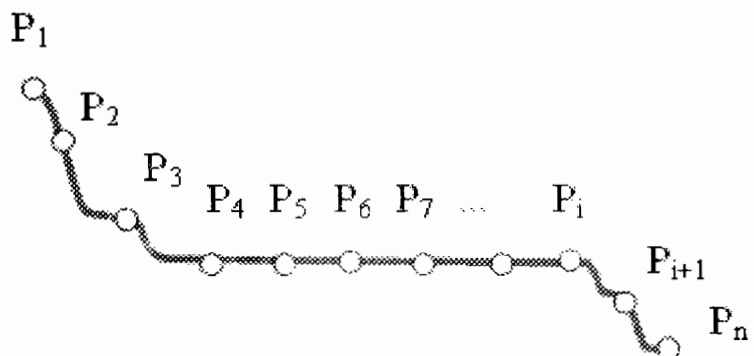


Fig. 1 – Discretizarea unui front de dislocatii in segmente  $L_i$

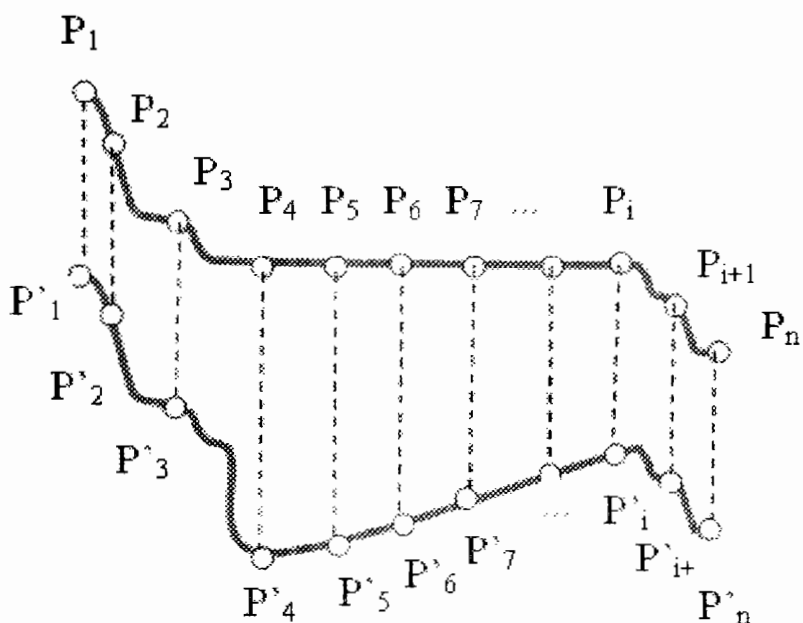


Fig. 2 Evolutia frontului de dislocatii pe un interval  $\Delta t_i$ , avand ca patern tinta o configuratie inspirata din mecanismul de indoire – dezdoire al unei proteine



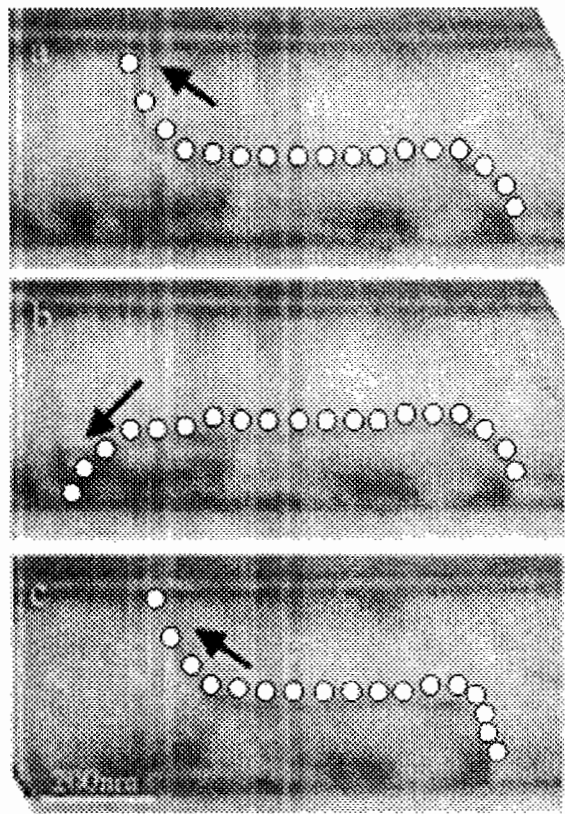


Fig. 3 Discretizarea dislocatiilor la deformarea Al si vizualizarea interactiunilor cu un film de  $\text{Al}_2\text{O}_3$ . Imagine TEM pentru deformarea. (a-c) 400 kV,  $T=325^\circ\text{C}$ . (a)  $t=0$  s. (b)  $t=0,76$  s, dislocatia face un salt la interactiunea cu  $\text{Al}_2\text{O}_3$ . (c)  $t=13,0$  s, re-intersectia cu suprafata filiforma. (d-g) 1 MV,  $T=250^\circ\text{C}$ , al doilea ciclu de incalzire. (d)  $t=0$  s. (e)  $t=0,40$  s. (f)  $t=7,96$  s. (g)  $t=8,88$  s. bazata pe [B. J. Inkson, G. Dehm and T. Wagner, In situ TEM observation of dislocation motion in thermally strained Al nanowires, Acta Materialia, Volume 50, Issue 20, 3 December 2002, Pages 5033-5047]

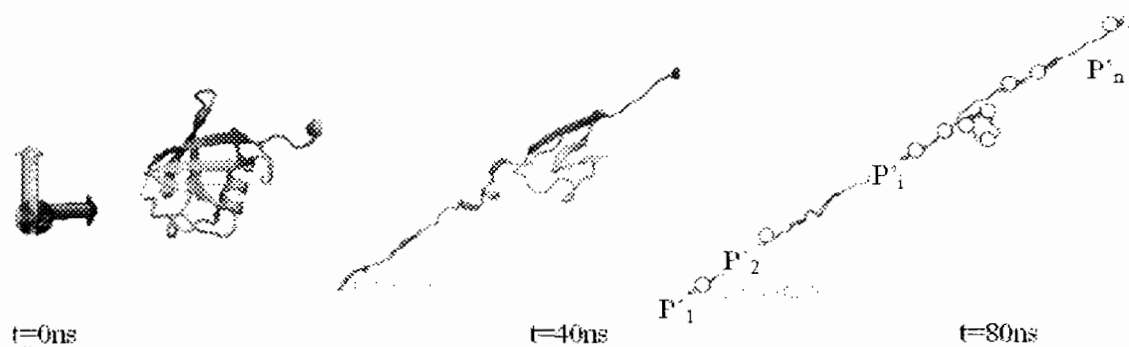


Fig. 4 Stari conformatonale ale proteinei UBIQUITIN la intindere



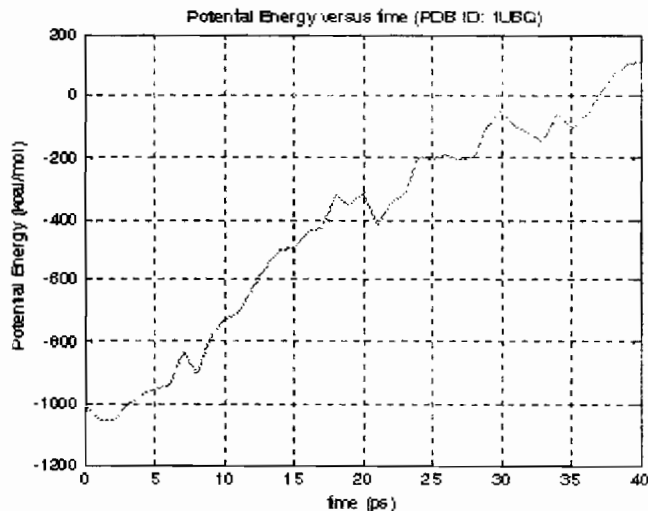


Fig. 5 Energia potentiala (energia interna totala U) corespunzatoare UBIQUITIN la intinderea cu o forta de 500pN, dupa un timp t=80ns de aplicare a fortei.

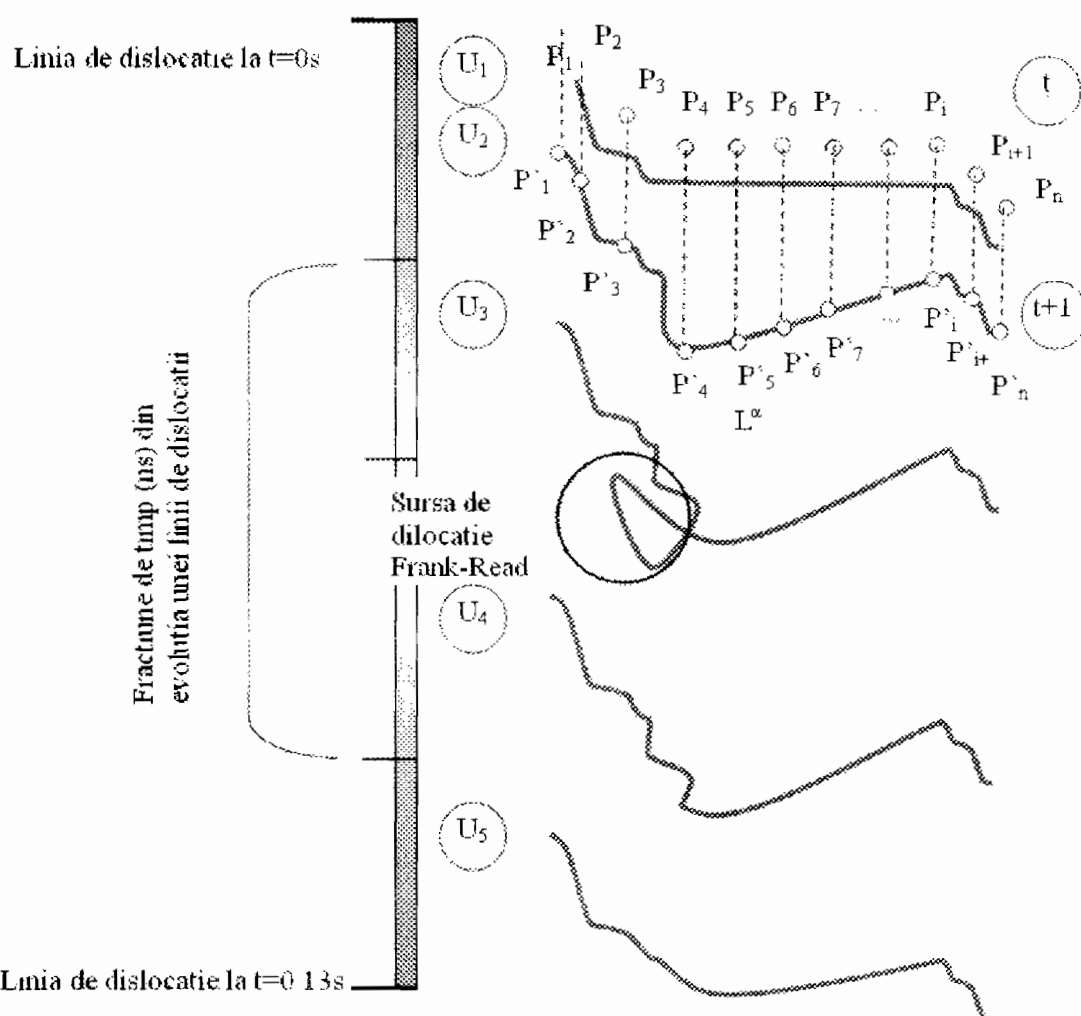


Fig. 6 Conceperea paternului tinta pentru evolutia dislocatiei considerate

*(Handwritten signatures)*

